

# 基于行为表达式的任意随机 Petri 网的品质分析<sup>1)</sup>

蒋昌俊      郑应平      疏松桂

(中国科学院自动化研究所 北京 100080)

**摘 要** 提出一种基于行为表达式的品质分析方法,可以做任意分布的有界或无界随机 Petri 网的品质分析. 该方法不仅拓广了分析范围,解决了文献[4]中没有解决的问题,而且不必画出 Petri 网的可达标识图,使分析过程更为简洁.

**关键词** 随机 Petri 网,任意分布,行为表达式,品质分析.

## 1 引 言

Petri 网是异步并发系统建模与分析的有力工具. 利用 Petri 网进行系统建模,不仅有图形的直观性和结构的层次性,而且还有一套理论方法支持系统的性质分析和品质分析.

Molloy<sup>[1]</sup>首先建立了可达标识图与有限马尔柯夫链的对应关系,从而为服从负指数分布的有界随机 Petri 网的品质分析提供了相应的马氏分析方法. 其后,Marson 等人<sup>[2]</sup>推广了 Molloy 的工作,提出一种广义随机 Petri 网(GSPN)模型,此模型包括了某些变迁为立即变迁(无时延)的情形. 而 Dugan 等人<sup>[3]</sup>从另一个方面推广了 Molloy 的工作,提出一种增广随机 Petri 网(ESPN)模型,该模型包含了抑止弧的情况. 然而这些工作均未突破负指数分布的限制,因而均是在马氏框架下进行分析. Guo, Zhou 等人<sup>[4]</sup>受 GERT<sup>[5]</sup>分析方法的启发,将矩母函数方法应用于 Petri 网,从而提出任意分布随机 Petri 网(ASPN)的矩母函数分析方法. 该方法是将随机 Petri 网的可达标识图作为一个状态机 Petri 网,并应用矩母函数及传递函数于该 Petri 网,从而形成一个适合任意分布的有界随机 Petri 网的分析方法. 由于这些方法都是基于可达标识图,因而决定了它们只能分析有界随机 Petri 网. 众所周知,生成一个复杂系统的 Petri 网模型的可达标识图是一件相当困难的工作,有时会出现状态爆炸等问题. 也就是说,这些方法也只能对那些小规模系统有效,而对那些稍大一点规模系统的分析便不能凑效.

本文基于 Petri 网的行为表达式<sup>[8]</sup>,将矩母函数法思想引入其中,从而形成一种适合任意分布的有界或某些无界(具有行为表达式的)随机 Petri 网(AGSPN)的分析方法.

1) 国家自然科学基金资助课题.  
收稿日期 1995-03-13

## 2 基于行为表达式的解析方法

为了便于计算,首先给出行为表达式的不同形式的定义及性质.

**定义 1.** 称  $\alpha$  是  $T$  上的一个单项式当且仅当  $\alpha$  是若干个(也可能是零个)字符连接的形式. 其长度是它包含的字符个数,记作  $|\alpha|$ . 例如  $\alpha=abcadce$ , 则  $\alpha$  是一个单项式, 并且  $|\alpha|=7$ .

**定义 2.** 称  $\alpha$  是  $T$  上的一个多项式当且仅当  $\alpha$  是若干个单项式的选择运算或并发运算的形式. 当  $\alpha$  中不含并发运算时, 称  $\alpha$  为标准多项式. 例如  $\alpha=ab+(cd)//(eaf)$ , 则  $\alpha$  是一个多项式.

由于  $\sigma_1//\sigma_2$  可按并发运算的定义展成若干个单项式的选择运算形式, 故任何多项式均可展成与之等价(表示的语言相同)的标准多项式. 例如上面的  $\alpha$  也可以写成

$$\alpha = ab + cdeaf + cedaf + ceadf + ceafd + ecdaaf + eacdf + eafcd.$$

**定义 3.** 称  $\alpha$  是  $T$  上的一个闭包式当且仅当  $\alpha$  是单项式或多项式  $\alpha'$  的“星”运算形式, 即  $\alpha=(\alpha')^*$ . 例如  $\alpha=(ab+(a+c)//(de))^*$  是一个闭包式.

**定义 4.** 称  $\alpha$  是一个复合式当且仅当  $\alpha$  是若干个单项式、多项式或闭包式在连接运算、选择运算、并发运算以及“星”运算有限次运算下的形式. 例如  $\alpha=((ab)^*//c)+(d+e))^*$  是一个复合式.

一个正规式(经典形式语言的表达式)本质上与一个复合式等价. 单项式、多项式和闭包式均是复合式的特例.

**定义 5.** 称  $\alpha_s$  是  $\alpha$  的一个子式当且仅当  $\alpha_s$  是  $\alpha$  中的一部分, 并且  $\alpha_s$  或者是一个单项式, 或者是一个多项式, 或者是一个复合式. 例如  $\alpha_s=(ab+c)^*$  是  $\alpha=a(b(ab+c)^*+(cd//f))^*$  的一个子式.

**定义 6.** 称  $\alpha$  是一个幂级式当且仅当  $\alpha$  中含有形如  $\sum_{n=0}^{\infty}(\alpha')$  的子式, 其中  $\alpha' \neq \phi$ . 例如  $\alpha = \sum_{n=0}^{\infty}(\alpha_1(\alpha_2)^n \cdot \alpha_3(\alpha_4)^n \alpha_5)$  是一个幂级式.

本质上说, 幂级式的表达能力已真超于复合式, 实际上幂级式中具有计数限制能力, 已达到上下文无关语言的表达能力, 甚至达到上下文有关语言的表达能力. 例如  $L(\alpha) = L(\sum_{n=0}^{\infty}(\alpha_1(\alpha_2)^n \alpha_3(\alpha_4)^n (\alpha_5)^n \alpha_6))$  便是一个上下文有关语言. 其中  $\alpha_2, \alpha_4, \alpha_5$  非空;  $\alpha_4 \neq \alpha_5$ .

一个行为表达式或者是一个复合式, 或者是一个幂级式. 因此, 它可以刻划有界 Petri 网, 或某些无界 Petri 网(表达式存在的). 根据表达式并借助下面的结论, 可以求得 petri 网的传递函数<sup>[4]</sup>, 再利用矩母函数的有关方法便可对任意分布的随机 Petri 网进行品质分析.

**命题 1.** 设  $\alpha=t_1t_2\cdots t_q$  是一个单项式, 则其传递函数

$$W_\alpha(s) = \prod_{i=1}^q W_{t_i}(s).$$

证明. 直接由文献[4]的化简规则即可得到此结论.

**命题 2.** 设  $\alpha=\alpha_1+\alpha_2+\cdots+\alpha_n$  是一个标准多项式, 则

$$W_\alpha(s) = \sum_{i=1}^n W_{\alpha_i}(s) \text{ (证明与命题 1 相同).}$$

命题 3. 设  $\alpha = (\alpha')^*$ , 则

$$W_\alpha(s) = \frac{1}{1 - W_{\alpha'}(s)}.$$

证明. 可按文献[4]中证明循环化简方法类似地进行.

分析方法的具体步骤如下:

第一步. 基于文献[8]产生系统的行为表达式, 并化多项式为标准多项式形式(若有的话);

第二步. 依据所给的分布参数及行为表达式结构, 求出各事件的引发概率及其矩母函数(注. 表达式中不同位置的同一事件可能传递函数不一样, 这是由于不同位置的同一事件的引发概率可能不一样);

第三步. 据第二步的计算结果, 对行为表达式重新标号, 以区别表达式中具有不同传递函数的同一事件;

第四步. 据命题 1—3 计算标号后的行为表达式的传递函数;

第五步. 基于前面的结果和矩母函数的有关方法进行各性能指标的计算, 从而获得系统的定量分析结果.

### 3 一个无界 AGSPN 分析

利用前面的方法, 分析一个无界的任意分布的增广 Petri 网.

例 1. 图 1 所示是一个随机 Petri 网(实线部分), 显然该网存在死锁状态. 为考虑该网死锁的随机性能, 现增加消解变迁  $t$  及其有关弧(虚线部分). 其中  $a, b, c$  及  $t$  服从负指数分布, 且  $\lambda_a = \lambda_b = \lambda_c = 1$ ,  $\lambda_t$  是参变量;  $d, e$  服从正态分布, 且均值满足  $\tau_d + \tau_e = 1$ , 方差满足  $\sigma_d^2 + \sigma_e^2 = 1$ . 分别考虑该网的周期时延、死锁时延及死锁概率与参变量  $\lambda_t$  的关系.

为了估计该网的周期时延, 需要计算它的周期行为表达式

$$\tilde{\alpha} = \alpha = \sum_{i=0}^{\infty} ((ab)^i c (de)^i t)$$

的传递函数. 从而有

$$W_{\tilde{\alpha}}(s) = W \sum_{i=0}^{\infty} ((ab)^i c (de)^i t)(s) = \sum_{i=0}^{\infty} W_{(ab)^i c (de)^i t}(s)$$

$$= \sum_{i=0}^{\infty} W_c(s) W_t(s) (W_a(s) W_b(s) W_d(s) W_e(s))^i$$

$$= \sum_{i=0}^{\infty} \frac{\lambda_c}{\lambda_a + \lambda_c - s} \cdot \frac{\lambda_t}{\lambda_t - s} \left( \frac{\lambda_a}{\lambda_a + \lambda_c - s} \cdot \frac{\lambda_b}{\lambda_b - s} \cdot e^{\tau_d s + 5\sigma_d^2 s^2} \cdot e^{\tau_e s + 5\sigma_e^2 s^2} \right)^i$$

$$= \sum_{i=0}^{\infty} \frac{1}{2 - s} \cdot \frac{\lambda_t}{\lambda_t - s} \left( \frac{1}{2 - s} \cdot \frac{1}{1 - s} e^{s + 5s^2} \right)^i$$

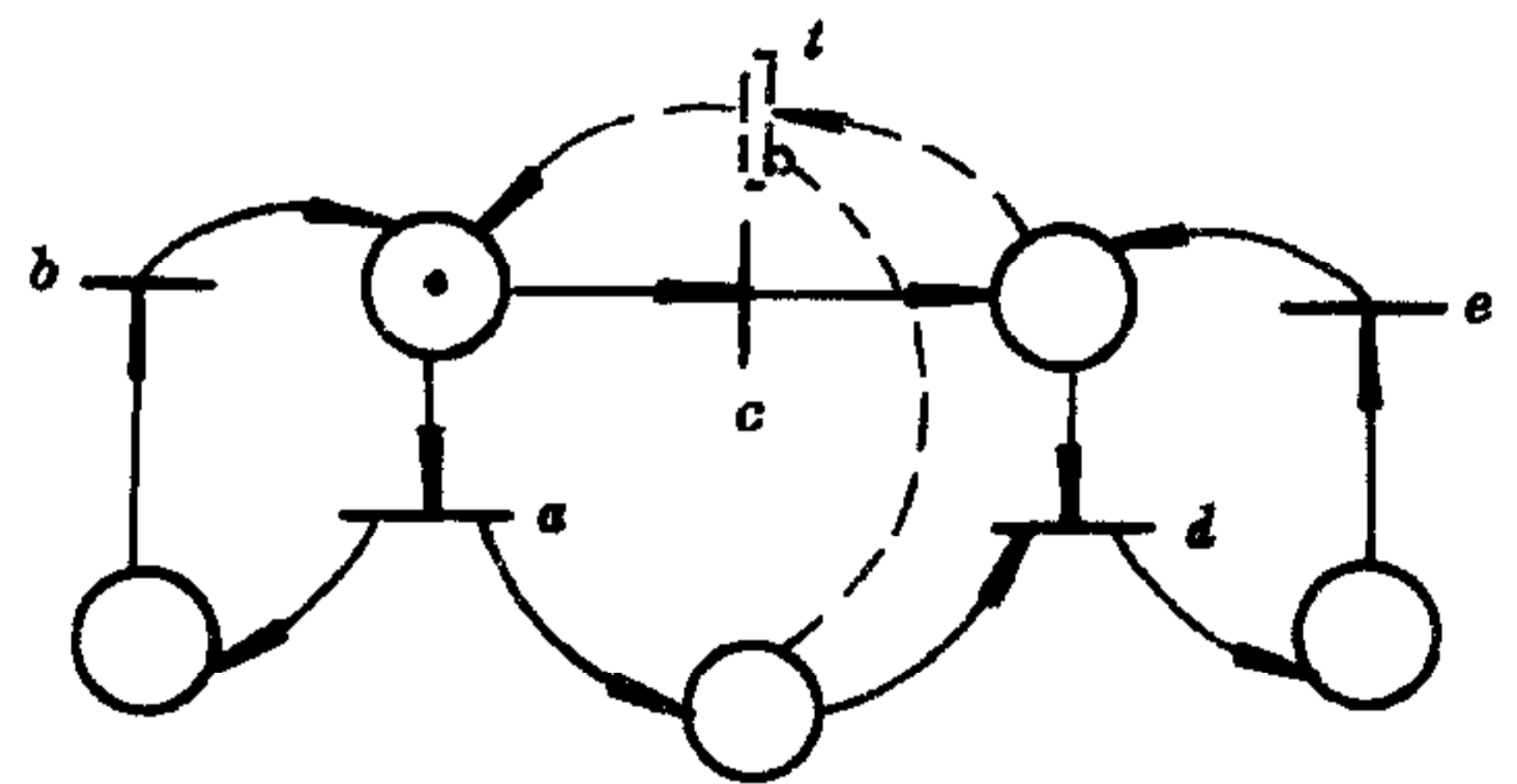


图 1 无界 Petri 网

$$= \frac{\lambda_t}{s^2 - (\lambda_t + 2)s + 2\lambda_t} \sum_{i=0}^{\infty} \left( \frac{e^{s+5s^2}}{s^2 - 3s + 2} \right)^i.$$

所以时延周期  $\mathcal{T}$  为(因为  $W_{\bar{a}}(0)=1$ )<sup>[4]</sup>

$$\begin{aligned} \mathcal{T} &= \frac{\partial}{\partial s} W_{\bar{a}}(s) \Big|_{s=0} = \frac{\lambda_t(-2s + \lambda_t + 2)}{(s^2 - (\lambda_t + 2)s + 2\lambda_t)^2} \cdot \sum_{i=0}^{\infty} \left( \frac{e^{s+5s^2}}{s^2 - 3s + 2} \right)^i \\ &\quad + \frac{\lambda_t}{s^2 - (\lambda_t + 2)s + 2\lambda_t} \sum_{i=0}^{\infty} i \cdot \left( \frac{e^{s+5s^2}}{s^2 - 3s + 2} \right)^{i-1} \\ &\quad \cdot \frac{(1 + 10s)e^{s+5s^2} - (2s - 3)e^{s+5s^2}}{(s^2 - 3s + 2)^2} \Big|_{s=0} \\ &= \frac{\lambda_t(\lambda_t + 2)}{(2\lambda_t)^2} \sum_{i=0}^{\infty} \left( \frac{1}{2} \right)^i + \frac{\lambda_t}{2\lambda_t} \sum_{i=0}^{\infty} i \cdot \left( \frac{1}{2} \right)^{i-1} \cdot \frac{1 + 3}{2^2} \\ &= \frac{\lambda_t + 2}{4\lambda_t} \cdot \frac{1}{1 - \frac{1}{2}} + \frac{1}{1 - \frac{1}{2}} = \frac{\lambda_t + 2}{2\lambda_t} + 2 \\ &= \frac{1}{\lambda_t} + \frac{5}{2}. \end{aligned}$$

为了计算死锁时延,在  $W_{\bar{a}}(s)$  中分别令  $W_a(s), W_b(s), W_c(s), W_d(s)$  和  $W_e(s)$  中的  $s=0$ , 从而得

$$\overline{W_{\bar{a}}(s)} = \frac{1}{2} \cdot \frac{\lambda_t}{\lambda_t - s} \cdot \sum_{i=0}^{\infty} \left( \frac{1}{2} \right)^i = \frac{\lambda_t}{\lambda_t - s},$$

则死锁时延  $\mathcal{T}_d$  为

$$\mathcal{T}_d = \frac{\partial}{\partial s} \overline{W_{\bar{a}}(s)} \Big|_{s=0} = \frac{\lambda_t}{(\lambda_t - s)^2} \Big|_{s=0} = \frac{1}{\lambda_t}.$$

这样,死锁的稳态概率  $p_d$  为

$$p_d = \frac{\mathcal{T}_d}{\mathcal{T}} = \frac{\frac{1}{\lambda_t}}{\frac{1}{\lambda_t} + \frac{5}{2}} = \frac{2}{5\lambda_t + 2}.$$

从而得  $\mathcal{T}, \mathcal{T}_d$  及  $p_d$  与  $\lambda_t$  的关系如图 2 所示.

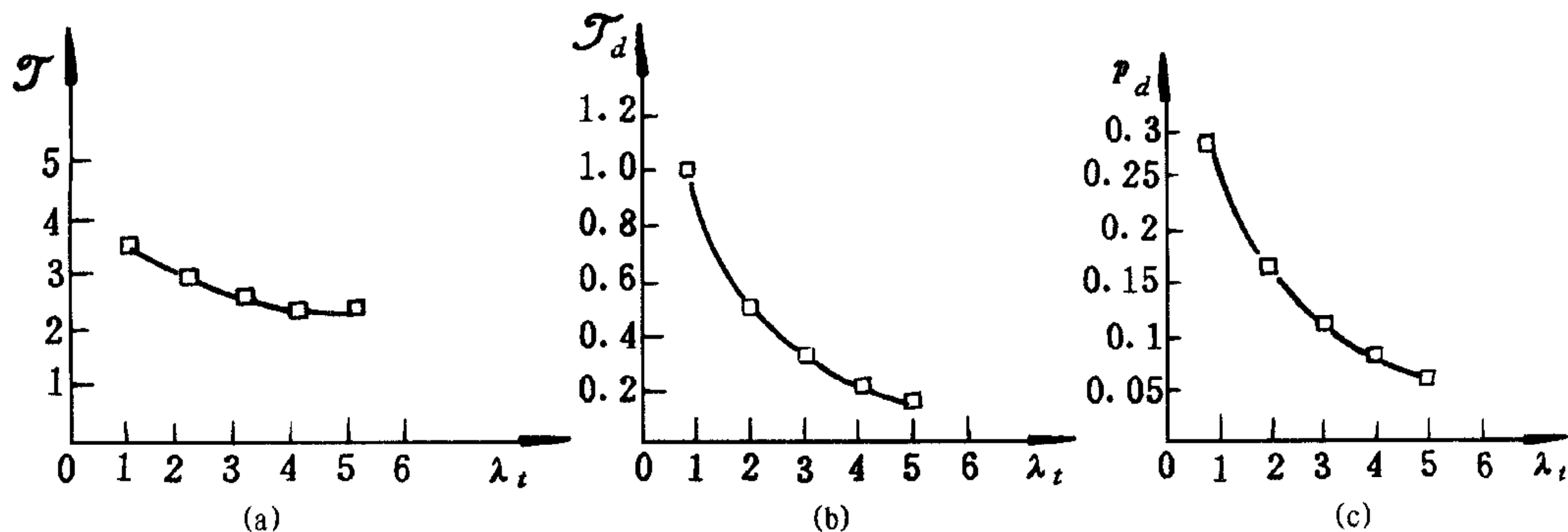


图 2  $\mathcal{T}, \mathcal{T}_d$  及  $p_d$  与  $\lambda_t$  的关系

上面利用网的行为表达式求得它的传递函数,并利用矩母函数思想,实现了该无界网的性能评估.这是现有其它方法都不能解决的,也是文献[4]中指出的一个困难而有理论意义的待解决问题.下面通过对一个实际系统的分析,证实本文方法的应用价值.

### 4 一个实际系统分析

**例 2.** 图 3 是一个加工装配系统的示意图. 系统有一个装配站  $A_1$ 、一个机器人  $R_1$ 、两台加工机器  $M_1$  和  $M_2$ , 对应的两个传输带分别将两类原材料  $\delta_1$  和  $\delta_2$  从库  $S_1$  和  $S_2$  中取出, 并送到相应机器  $M_1$  和  $M_2$  上进行加工; 然后分别经  $R_1$  将半成品  $\delta'_1$  和  $\delta'_2$  从  $M_1$  和  $M_2$  上卸载并送到  $A_1$ , 经  $A_1$  装配成产品由传输带运到库  $S_3$  中.

为讨论方便起见, 做如下假设:

- 1)  $S_1, S_2$  中原材料从不短缺;
- 2)  $S_3$  中产品从不溢出;
- 3) 传输过程很快, 看做立即动作;
- 4)  $M_i$  加工  $\delta_i$  的速率服从负指数分布, 且参数分别是 0.5;
- 5)  $R_1$  从  $M_i$  上卸载速率是一个常量, 记作  $\chi$ ;
- 6)  $A_1$  装配速率服从负指数分布, 且参数是 1.

建立该系统的 Petri 网模型如图 4 所示. 其中  $a$  ——  $M_1$  加工  $\delta_1$ ;  $b$  ——  $M_2$  加工  $\delta_2$ ;  $c$  ——  $R_1$  从  $M_i$  上卸载  $\delta'_i, i=1, 2$ ;  $d$  ——  $A_1$  对  $\delta'_1$  与  $\delta'_2$  进行装配.

取  $\lambda_a = \lambda_b = 0.5, \lambda_d = 1, \chi$  是一个参量. 按本文方法得到已标号的周期行为表达式是

$$\bar{\alpha} = (ab' + ba')c(b''(d'''a'c + a'''dc) + a''(d''''b'c + b''''dc)) * d''.$$

其中

$$W_d(s) = \frac{\lambda_d}{\lambda_d - s} = \frac{1}{1 - s},$$

$$W_a(s) = \frac{\lambda_a}{\lambda_a + \lambda_b - s} = \frac{1}{2 - 2s}, \quad W_b(s) = \frac{\lambda_b}{\lambda_a + \lambda_b - s} = \frac{1}{2 - 2s},$$

$$W_{d'}(s) = \frac{\lambda_a}{\lambda_a - s} = \frac{1}{1 - 2s}, \quad W_{b'}(s) = \frac{\lambda_b}{\lambda_b - s} = \frac{1}{1 - 2s},$$

$$W_{a''}(s) = \frac{\lambda_a}{\lambda_a + \lambda_b + \lambda_d - s} = \frac{1}{4 - 2s}, \quad W_{b''}(s) = \frac{\lambda_b}{\lambda_a + \lambda_b + \lambda_d - s} = \frac{1}{4 - 2s},$$

$$W_{d''}(s) = \frac{\lambda_d}{\lambda_a + \lambda_b + \lambda_d - s} = \frac{1}{2 - s}, \quad W_c(s) = e^{\chi s}, \chi = 2.71828,$$

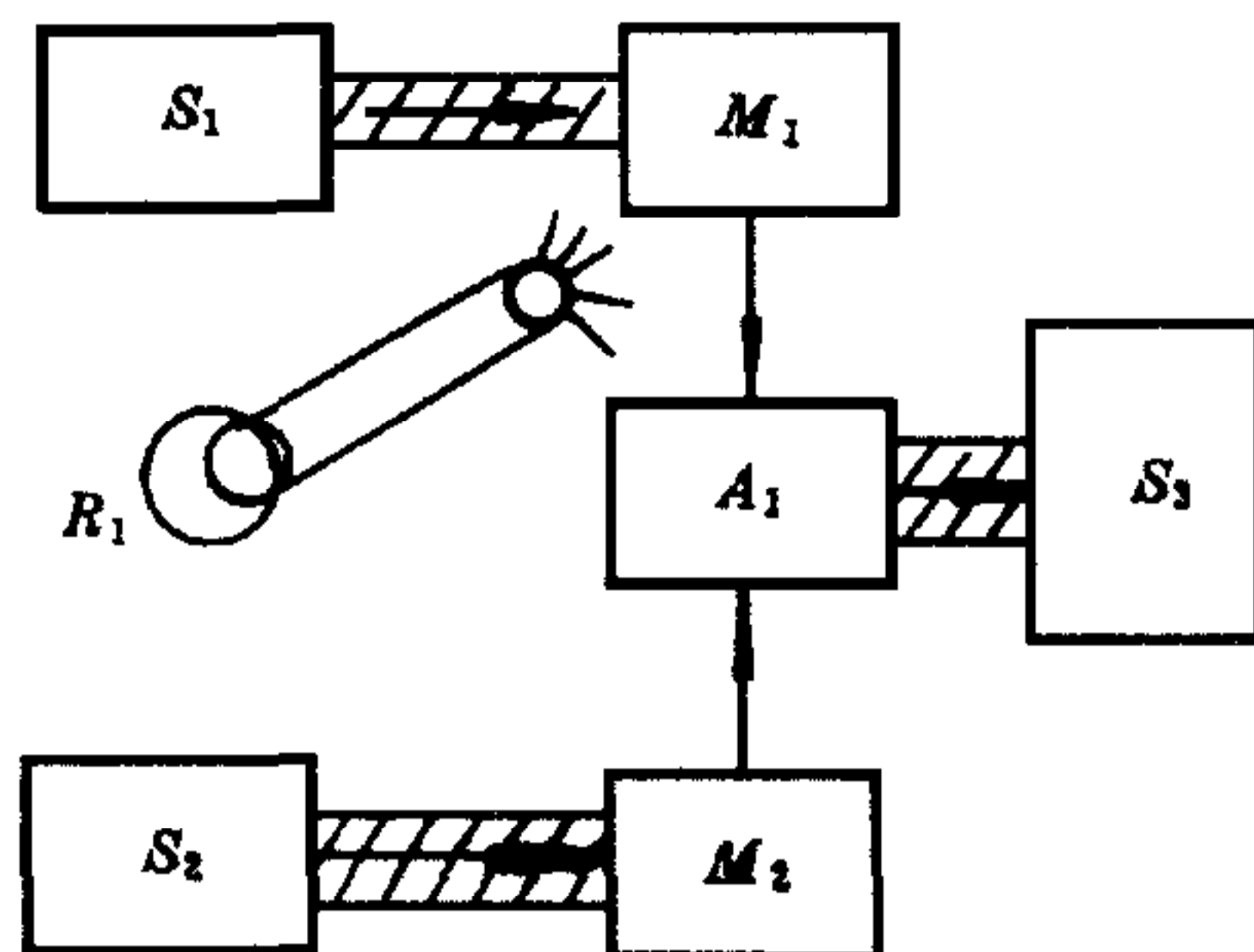


图 3 一个架工装配系统

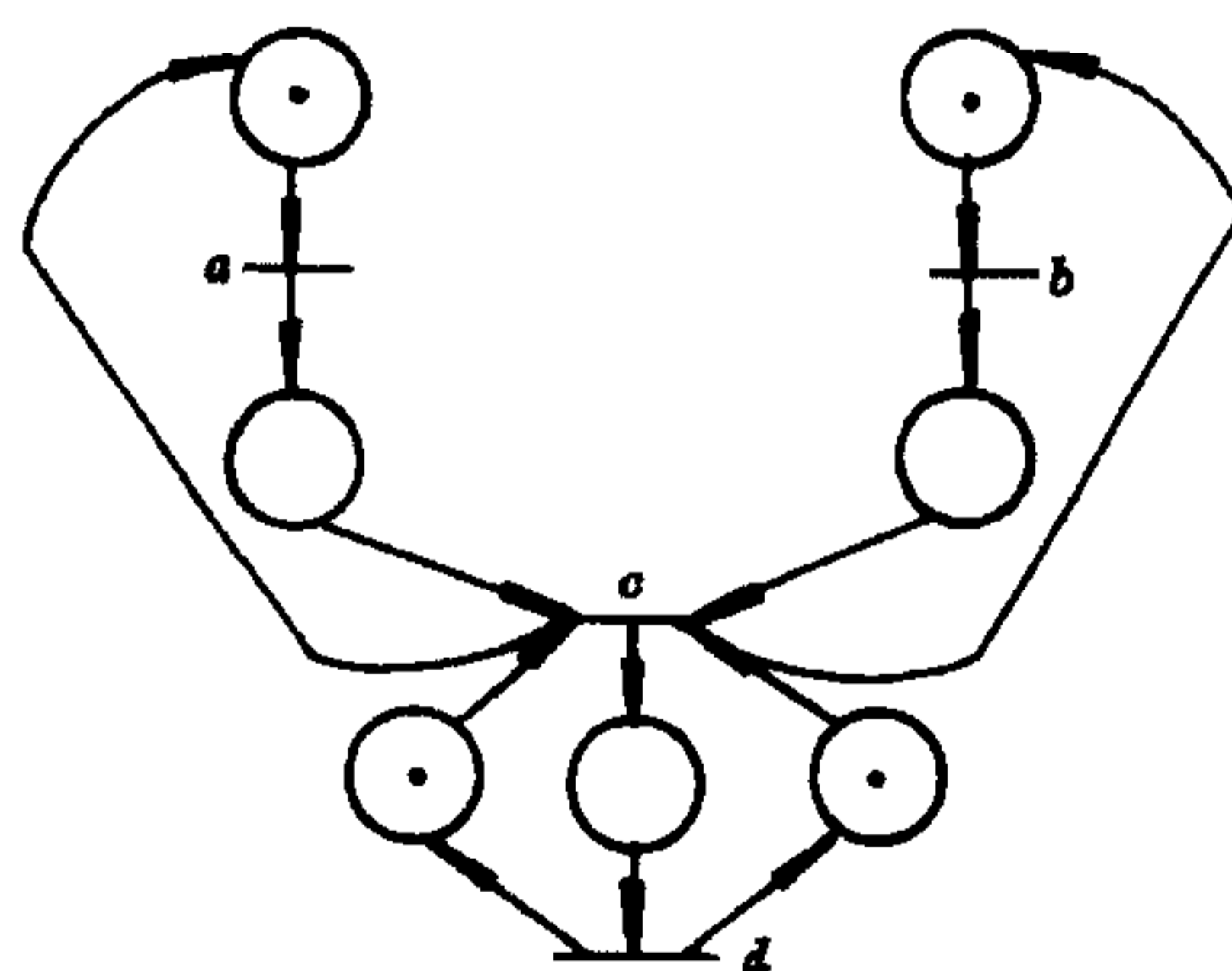


图 4 加工装配系统的 Petri 网模型

$$W_{a''}(s) = \frac{\lambda_a}{\lambda_a + \lambda_d - s} = \frac{1}{3 - 2s}, \quad W_{d''}(s) = \frac{\lambda_d}{\lambda_a + \lambda_d - s} = \frac{2}{3 - 2s},$$

$$W_{b''''}(s) = \frac{\lambda_b}{\lambda_b + \lambda_d - s} = \frac{1}{3 - 2s}, \quad W_{d''''}(s) = \frac{\lambda_d}{\lambda_b + \lambda_d - s} = \frac{2}{3 - 2s}.$$

根据本方法第四步,求得  $\tilde{\alpha}$  的传递函数

$$W_{\tilde{\alpha}}(s) = \frac{(3 - 2s)e^{Xs}}{4s^4 - 20s^3 + 35s^2 - 25s + 6 - (3 - 4s)e^{Xs}},$$

从而该系统平均生产周期是

$$\mathcal{F} = \left. \frac{\partial}{\partial s} W_{\tilde{\alpha}}(s) \right|_{s=0} = \frac{4X + 19}{3}.$$

在一个生产周期中,为考虑卸载的时延  $\mathcal{F}_c$ ,令  $W_i(s)$  中  $s=0$ ,其中  $i \in \{a, b, a', b', a'', b'', d'', a''', d''', b''', d''', b'''', d''''\}$ . 从而得到此时的传递函数

$$W_{\tilde{\alpha}_c}(s) = \frac{e^{Xs}}{2 - e^{Xs}}.$$

因此,  $\mathcal{F}_c = \left. \frac{\partial}{\partial s} W_{\tilde{\alpha}_c}(s) \right|_{s=0} = \frac{5X}{4}.$

这样,处于卸载的稳态概率是

$$p_c = \frac{\mathcal{F}_c}{\mathcal{F}} = \frac{\frac{5X}{4}}{\frac{4X + 19}{3}} = \frac{15X}{4(4X + 19)}.$$

由此可得  $\mathcal{F}, \mathcal{F}_c, p_c$  对  $X$  的曲线如图 5 所示.

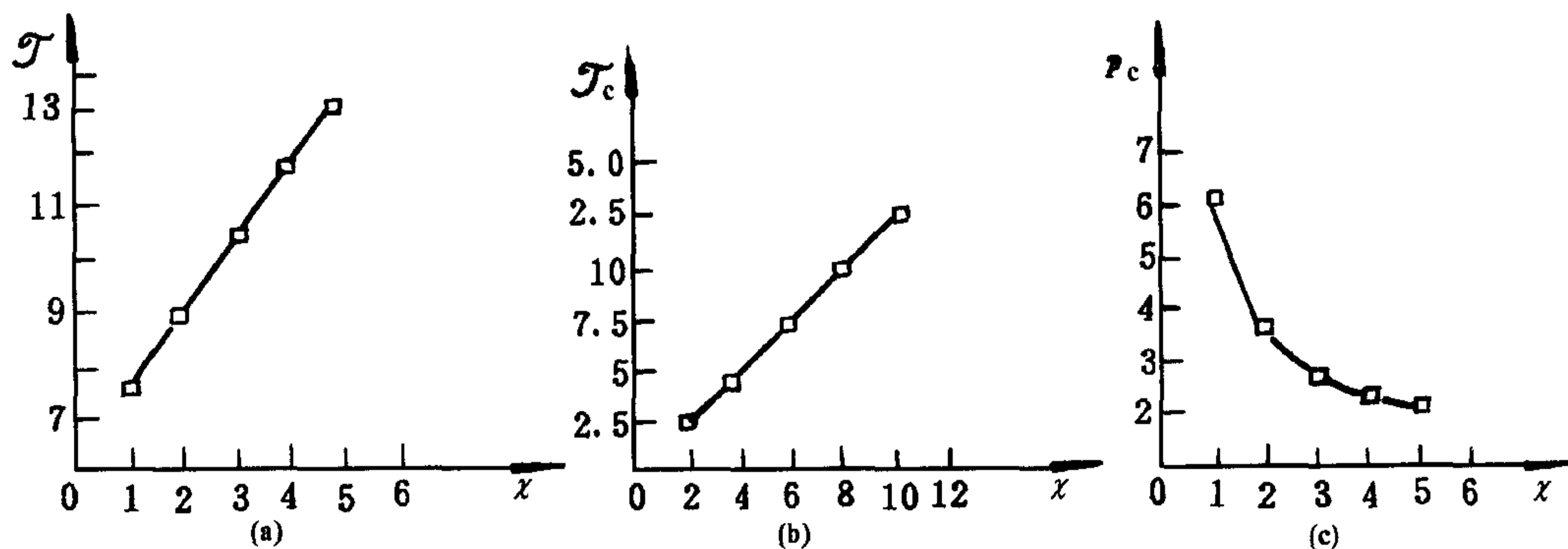


图 5  $\mathcal{F}, \mathcal{F}_c, p_c$  对  $X$  的曲线

## 5 结 语

本文给出一个基于行为表达式的任意随机 Petri 网的性能分析方法. 通过对一个无界 AGSPN 的品质分析,展示了该方法的理论意义. 并通过对一个加工装配系统的品质分析,说明了该方法的实际意义. 进一步要做的工作应该是开发出基于行为表达式的并发系统建模、分析、控制、评估和优化的 Petri 网语言方法的计算机软件,使之真正成为强有力的工具.

## 参 考 文 献

- [1] Molloy M K. Performance analysis using stochastic Petri nets. *IEEE Trans. on Computers*, 1982, **3**:913—917.
- [2] Marsan M A, Balbo G, Conte G. A class of generalized stochastic Petri nets for performance analysis of multi-processor systems. *ACM TOCS*. 1984, **2**:92—122.
- [3] Dugan J B, Trivedi K S, Geist R M, Nicola V F. Extended stochastic Petri nets: application and analysis. in Proc. PERFORMANCE, Paris. December, 1984, 507—519.
- [4] Zhou M C, Guo D L, DiCesare F. Integration of Petri nets and moment generating function approaches for system performance evaluation. *J. of Systems Integration*, 1993, (3):43—62.
- [5] Pritsker A A B. Modeling and analysis using Q-GERT networks. New York: John Wiley and Sons, 1979.
- [6] Jiang C J, Wu Z H. Net operations( I ). *J. of Comput. Sci. & Technol.*, 1992, **7**:333—344.
- [7] Jiang C J. Net operations( II ). *J. of Comput. Sci. & Technol.*, 1995, **10**(6):51—60.
- [8] Jiang C J, Zheng Y P, Sheng S G. Synthesis and analysis of systems based on Petri nets. Int. Conference on Systems and Control, NanKai, October, 1994.

## PERFORMANCE ANALYSIS OF ARBITRARY STOCHASTIC PETRI NETS BASED ON BEHAVIOR EXPRESSION

JIANG CHANGJUN    ZHENG YINGPING    SHU SONGGUI

(Institute of Automation, Chinese Academy Science, Beijing 100080)

**Abstract** A performance analysis method based on behavior expression is presented in this paper. This method can be used for performance analysis of bounded or non-bounded stochastic Petri nets with arbitrary distributions. It not only extends analysis range but also solves an open problem in paper [4]. It needn't draw the reachability marking graph of Petri nets. Thus, the analysis process proposed in this paper is simple and easy to implement.

**Key words** Stochastic Petri net, arbitrary distribution, behavior expression, performance analysis.

蒋昌俊 简介见本刊第 22 卷第 4 期。

郑应平 简介见本刊第 18 卷第 2 期。

疏松桂 简介见本刊第 20 卷第 3 期。